

P-2 50  
997/12  
62  
149

ISSN 0033-8486

142

# РАДИОТЕХНИКА

12 1997

В НОМЕРЕ:

Оптимизация выделения сигналов из помех —  
путь к повышению качества  
радиотехнических систем и устройств



Тел./факс: (095) 925 - 92 - 41  
Эл. почта: zaoiprzhr@glasnet.ru  
[http://www.cplire.ru/html/jr\\_e/iprzhr.html](http://www.cplire.ru/html/jr_e/iprzhr.html)

СКА • ПОДПИСКА  
ПОДПИСНОЙ ИНДЕКС 70775 В КАТАЛОГЕ АГЕНТСТВА "РОСПЕЧАТЬ": ГАЗЕТЫ И ЖУРНАЛЫ

355

# Оценка времени прихода случайного импульса на фоне белого шума

А.П.Трифонов, В.И.Парфенов

Найдены структура и характеристики максимально правдоподобного измерителя, а также квазиоптимального измерителя, использующего стандартные фильтры.

Случайные импульсы часто используют в качестве математических моделей реальных сигналов. Такими моделями могут быть описаны отраженные сигналы в локации (особенно гидролокации и в системах, использующих сверхширокополосные сигналы), сигналы в спектроскопии и радиоастрономии [1], сигналы, искаженные модулирующей помехой [2]. Кроме того, случайные сигналы могут быть использованы в качестве переносчика информации (несущей), особенно в оптических линиях связи [3] и в гидролокации [4].

Цель работы — определить структуру измерителя и характеристики оценки времени прихода случайного гауссовского импульса.

Представим, аналогично [1], импульсный сигнал длительностью  $\tau$  в виде

$$s(t, \lambda_0) = f[(t - \lambda_0)/\tau] \xi(t), \quad (1)$$

где  $\xi(t)$  — реализация центрированного гауссовского стационарного случайного процесса с корреляционной функцией  $K(\Delta) = \langle \xi(t)\xi(t+\Delta) \rangle$ ;  $f(\cdot)$  — детерминированная функция, описывающая форму принимаемого импульса;  $\lambda_0$  — истинное значение времени прихода сигнала.

Полагаем, что модулирующая функция  $f(x)$  удовлетворяет условиям нормировки

$$\max f(x) = 1, \int_{-\infty}^{\infty} f^2(x) dx = 1. \quad (2)$$

Для синтеза измерителя возьмем метод максимального правдоподобия. Тогда измеритель должен формировать логарифм функционала отношения правдоподобия (ФОП) [1]

$$L(\lambda) = \frac{1}{N_0} \int_{-T/2}^{T/2} \int_{-T/2}^{T/2} x(t_1)x(t_2) Q(t_1, t_2, \lambda) dt_1 dt_2 - \frac{1}{2} \int_0^1 d\chi \int_{-T/2}^{T/2} dt \tilde{Q}(t, t, \lambda, \chi) \quad (3)$$

для всех  $\lambda \in [-\Lambda/2; \Lambda/2]$ ,  $\Lambda < T - 2\tau$ , и определять положение его абсолютного (наибольшего) максимума.

В (3)  $x(t) = s(t, \lambda_0) + n(t)$  — реализация наблюдаемых данных,  $|t| \leq T/2$ , функция  $Q(t_1, t_2, \lambda) = \tilde{Q}(t_1, t_2, \lambda, 1)$ , а функция  $\tilde{Q}(t_1, t_2, \lambda, \chi)$  удовлетворяет интегральному уравнению

$$\frac{N_0}{2} \tilde{Q}(t_1, t_2, \lambda, \chi) + \chi \int_{-T/2}^{T/2} \tilde{Q}(t_1, t, \lambda, \chi) K_s(t, t_2, \lambda) dt = K_s(t_1, t_2, \lambda), \quad (4)$$

где

$$K_s(t_1, t_2, \lambda) = f[(t_1 - \lambda)/\tau] f[(t_2 - \lambda)/\tau] K(t_1 - t_2) \quad (5)$$

— корреляционная функция сигнала (1).

Практическая реализация измерителя на основе (3) затруднительна, что связано с необходимостью формирования квадратичного функционала для всех  $\lambda \in [-\Lambda/2; \Lambda/2]$ . Упрощение структуры алгоритма возможно при условии, что длительность сигнала  $\tau$  значительно превосходит время корреляции процесса  $\xi(t)$ , т.е. при условии

$$\mu = \tau \Omega / 4\pi \gg 1, \quad (6)$$

где  $\Omega = \int_{-\infty}^{\infty} G^2(\omega) d\omega [\sup G(\omega)]^{-2}$  — эквивалентная

полоса частот процесса  $\xi(t)$  со спектром мощности  $G(\omega) = yg(\omega/\Omega)$ ,  $g(x)$  — функция, описывающая форму спектра мощности процесса  $\xi(t)$  и удовлетворяющая условиям

$$g(x) = g(-x) \geq 0, \sup g(x) = 1, \int_{-\infty}^{\infty} g^2(x) dx = 1. \quad (7)$$

Решение (4) будем искать в виде, аналогичном (5),  $\tilde{Q}(t_1, t_2, \lambda, \chi) = f[(t_1 - \lambda)/\tau] f[(t_2 - \lambda)/\tau] \tilde{Q}_0(t_2 - t_1, \chi)$ . Тогда (4) примет вид

$$\frac{N_0}{2} \tilde{Q}_0(t_2 - t_1, \chi) + \chi \int_{-T/2}^{T/2} \tilde{Q}_0(t_2 - t, \chi) K(t - t_2) \times \\ \times f^2 [(t - \lambda)/\tau] dt = K(t_2 - t_1). \quad (8)$$

С учетом (2), (6) можно положить  $f^2[(t - \lambda)/\tau] = 1$  на интервале порядка времени корреляции процесса  $\xi(t)$ . При этом пределы интегрирования в (8) можно заменить на бесконечные

$$\frac{N_0}{2} \tilde{Q}_0(t_2 - t_1, \chi) + \chi \int_{-\infty}^{\infty} \tilde{Q}_0(t_1 - t, \chi) K(t - t_2) dt = K(t_2 - t_1).$$

Решая это уравнение с помощью преобразования Фурье, имеем

$$\tilde{Q}_0(t_2 - t_1, \chi) = \frac{1}{2\pi} \int_{-\infty}^{\infty} \frac{G(\omega) \exp[i\omega(t_2 - t_1)]}{N_0/2 + \chi G(\omega)} d\omega,$$

$$Q_0(t_2 - t_1) = \tilde{Q}_0(t_2 - t_1, 1) = \int_{-\infty}^{\infty} Q_0(\omega) \exp[i\omega(t_2 - t_1)] d\omega / 2\pi,$$

$$Q_0(\omega) = \{2G(\omega)/N_0\} / [1 + 2G(\omega)/N_0]. \quad (9)$$

В результате логарифм ФОП (3) перепишется в виде

$$L(\lambda) = L_z(\lambda) - \tau \int_{-\infty}^{\infty} \ln [1 + 2G(\omega)/N_0] d\omega / 4\pi, \quad (10)$$

где

$$L_z(\lambda) = \int_{-T/2}^{T/2} \int_{-T/2}^{T/2} x(t_1, \lambda) x(t_2, \lambda) Q_0(t_2 - t_1) dt_1 dt_2 / N_0,$$

$$x(t, \lambda) = x(t) f[(t - \lambda)/\tau]. \quad (11)$$

Обозначив  $\tilde{x}(\omega, \lambda) = \int_{-T/2}^{T/2} x(t, \lambda) \exp(-i\omega t) dt$  и воспользовавшись теоремой Парсеваля,  $L_z(\lambda)$  (11) можно представить как

$$L_z(\lambda) = \frac{1}{2\pi N_0} \int_{-\infty}^{\infty} |\tilde{x}(\omega, \lambda)|^2 Q_0(\omega) d\omega = \\ = \frac{1}{N_0} \int_{-T/2}^{T/2} \tilde{y}^2(t, \lambda) dt, \quad (12)$$

где

$$\tilde{y}(t, \lambda) = \int_{-\infty}^{\infty} x(\nu) f[(\nu - \lambda)/\tau] h_1(t - \nu) d\nu, \quad (13)$$

$$h_1(t) = \int_{-\infty}^{\infty} H_1(\omega) \exp(i\omega t) d\omega / 2\pi, |H_1(\omega)|^2 = Q_0(\omega). \quad (14)$$

Отметим, что измеритель, синтезированный в [1], совпадает с (12) при условии

$$q = 2 \text{sup} G(\omega) / N_0 = 2 \gamma / N_0 \ll 1. \quad (15)$$

Согласно (6) длительность сигнала  $\tau$  значительно превосходит время корреляции случайного процесса  $\xi(t)$ , а, следовательно, и длительность переходных процессов в фильтре с импульсной переходной функцией  $h_1(t)$  (9), (14). Следовательно, (13) можно приблизенно записать в виде

$$\tilde{y}(t, \lambda) \approx f[(t - \lambda)/\tau] \int_{-\infty}^{\infty} x(\nu) h_1(t - \nu) d\nu = \\ = f[(t - \lambda)/\tau] y(t), \quad (16)$$

где  $y(t) = \int_{-\infty}^{\infty} x(\nu) h_1(t - \nu) d\nu$  — отклик фильтра с импульсной переходной функцией  $h_1(t)$  на реализацию наблюдаемых данных.

Таким образом, с учетом (10), (12), (13), (16) алгоритм максимального правдоподобия оценки времени прихода  $\lambda$  можно представить в виде

$$\hat{\lambda} = \text{argsup } L_z(\lambda), |\lambda| < \Lambda/2, \quad (17)$$

где

$$L_z(\lambda) = \frac{1}{N_0} \int_{-T/2}^{T/2} \tilde{y}^2(t, \lambda) dt. \quad (18)$$

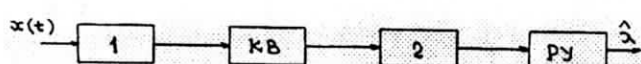


Рис. 1

Блок-схема измерителя, реализующего оценку (17), приведена на рис. 1, где обозначено: 1 — фильтр с импульсной переходной функцией  $h_1(t)$  (14); KB — квадратор; 2 — фильтр с импульсной пе-

(13) переходной функцией  $h_2(t)=kf^2[(t_0-t)/\tau]$  ( $t_0 > \tau$ ,  $k$  — произвольная постоянная); РУ — решающее устройство, осуществляющее поиск положения абсолютного максимума функции (18). Согласно (18), блок 2 представляет собой фильтр, согласованный с квадратом модулирующей функции  $f(t/\tau)$ . Введем в рассмотрение постоянную времени этого фильтра

$$\tau_h = \int_{-\infty}^{\infty} |h_2(t)| dt / \sup |h_2(t)|. \quad (19)$$

В силу (2)  $\tau_h = \tau$ , т.е. постоянная времени фильтра 2 совпадает с длительностью модулирующей функции.

Перейдем к определению характеристик оценки  $\lambda$  (17). Для этого представим (18) в виде  $L_z(\lambda) = S(\lambda, \lambda_0) + N(\lambda) + C$ , где  $S(\lambda, \lambda_0) = \langle L_z(\lambda) \rangle - C$  — сигнальная, а  $N(\lambda) = L_z(\lambda) - \langle L_z(\lambda) \rangle$  — шумовая функции. Причем при выполнении условия (6) сигнальная функция и корреляционная функция шумовой функции имеют вид

$$S(l, l_0) = \mu g_{11} F_{011}(0, l, l_0), \quad (20)$$

$$B(l_1, l_2) = \langle N(l_1) N(l_2) \rangle = \mu \{ g_{02} F_{110}(l_1, l_2, 0) + 2g_{12} F_{111}(l_1, l_2, l_0) + g_{22} F_{112}(l_1, l_2, l_0) \}, \quad (21)$$

$$C = \mu g_{01} F_{100}(0, 0, 0). \quad (22)$$

В (20) — (22)

$$F_{nmk}(l_1, l_2, l_0) = \int_{-\infty}^{\infty} f^{2n} (x-l_1) f^{2m} (x-l_2) f^{2k} (x-l_0) dx, \quad (23)$$

$$g_{kn} = \int_{-\infty}^{\infty} \frac{[qg(x)]^{k+n}}{[1+qg(x)]^n} dx, \quad (24)$$

$$l = \lambda/\tau, \quad l_i = \lambda_i/\tau, \quad i = 0, 1, 2.$$

Сигнальная функция  $S(l, l_0)$  (20) достигает максимума при  $l = l_0$ . Следовательно, в соответствии с [5], оценка  $\hat{l} = \hat{\lambda}/\tau$  асимптотически (с ростом  $\mu$  (6))

несмешенная (систематическая ошибка равна нулю), а дисперсия этой оценки

$$D_0(\hat{l}) = \frac{\partial^2 B(l_1, l_2)}{\partial l_1 \partial l_2} \Bigg|_{l_0} \cdot \left\{ \frac{\partial^2 S(l, l_0)}{\partial l^2} \right\}_{l_0}^{-2} =$$

$$= \{g_{02} \varphi_{21} + 2g_{12} \varphi_{22} + g_{22} \varphi_{23}\} / (\mu g_{11}^2 \Psi^2), \quad (25)$$

где

$$\varphi_{kn} = 4 \int_{-\infty}^{\infty} [df(x)/dx]^k f^{2n}(x) dx, \quad (26)$$

$$\Psi = 4 \int_{-\infty}^{\infty} [f(x) df(x)/dx]^2 dx. \quad (27)$$

При выполнении (15) выражение для дисперсии оценки (25) упрощается и принимает вид

$$D_0(\hat{l}) = 1/(\mu q^2 \Psi) = 1/\{4 \mu q^2 \int_{-\infty}^{\infty} [f(x) df(x)/dx]^2 dx\}.$$

Рассмотрим более подробно алгоритм измерения (17), (18). Для его аппаратурной реализации, согласно рис. 1, необходима значительная априорная информация. Так, для реализации фильтра 1, согласно (14), надо знать эквивалентную полосу частот и форму спектра мощности процесса  $\xi(t)$ , описываемую функцией  $g(x)$ , а также величину  $q$ , характеризующую отношение средней мощности случайного процесса  $\xi(t)$  к средней мощности белого шума в полосе частот сигнала. Для реализации фильтра 2 надо знать форму и длительность модулирующей функции  $f(t/\tau)$ . Кроме того, для ряда оптимальных импульсных переходных функций  $h_1(t)$  и  $h_2(t)$  структура фильтров 1 и 2 оказывается излишне сложной. Поэтому можно рекомендовать использовать в качестве этих фильтров достаточно легко реализуемые стандартные фильтры, выбирая их параметры такими, чтобы проигрыш в точности оценки был не слишком велик. В качестве фильтра 1 выберем фильтр с передаточной функцией  $\tilde{H}_1(\omega) \neq H_1(\omega)$ , удовлетворяющей условию  $|\tilde{H}_1(\omega)|^2 = H_0^2 \tilde{g}(\omega/\tilde{\Omega})$ , где  $H_0 = \text{const}$ ,  $\tilde{\Omega} = \int_{-\infty}^{\infty} |\tilde{H}_1(\omega)|^4 d\omega \{ \sup |\tilde{H}_1(\omega)| \}^{-4}$  — эквивалентная полоса частот фильтра, а функция  $\tilde{g}(x)$  нормирована также как и функция  $g(x)$  (7). В качестве фильтра 2 выберем фильтр с импульсной

переходной функцией  $\tilde{h}_2(t) \neq h_2(t)$ , удовлетворяющей условию  $\tilde{h}_2(t) = h_0 \tilde{f}(t/\tilde{\tau})$ , где  $h_0 = \text{const}$ ,

$\tilde{\tau} = \int_{-\infty}^{\infty} |\tilde{h}_2(t)| dt / \sup |\tilde{h}_2(t)|$  — постоянная времени фильтра, определяемая аналогично (19), а функция  $\tilde{f}(x)$  нормирована так, что  $\int_{-\infty}^{\infty} |\tilde{f}(x)| dx = 1$ ,  $\sup |\tilde{f}(x)| = 1$ . При этом в соответствии с введенными обозначениями квазиоптимальный алгоритм изменения времени прихода  $\lambda$  принимает вид

$$\tilde{\lambda} = \arg \sup \tilde{L}(\lambda), |\lambda| < \Lambda/2, \quad (28)$$

$$\tilde{L}(\lambda) = \frac{1}{N_0} \int_{-T/2}^{T/2} \tilde{y}^2(t) \tilde{h}_2(\lambda - t) dt, \quad (29)$$

где  $\tilde{y}(t) = \int_{-\infty}^{\infty} x(\nu) \tilde{h}_1(t-\nu) d\nu$  — отклик фильтра с импульсной переходной  $\tilde{h}_1(t)$  и передаточной  $\tilde{H}_1(\omega)$  функциями на реализацию наблюдаемых данных.

Для определения характеристик квазиоптимальной оценки  $\tilde{l} = \tilde{\lambda}/\tilde{\tau}$  представим функционал (29), как и ранее, в виде суммы сигнальной и шумовой функций  $\tilde{L}(\lambda) = \tilde{S}(\lambda, \lambda_0) + \tilde{N}(\lambda) + \tilde{C}$ . Причем при выполнении условия (6) сигнальная функция  $\tilde{S}(l, l_0)$ , функция корреляции шумовой функции  $\tilde{B}(l_1, l_2)$  и несущественная постоянная  $\tilde{C}$  определяются (20)–(22) соответственно при замене  $F_{nmk}$  (23) и  $g_{kn}$  (24) на

$$\tilde{F}_{nmk}(l_1, l_2, l_0) = \eta h_0^{n+m} \int_{-\infty}^{\infty} \tilde{f}^n \left( x - \frac{l_1}{\eta} \right) \tilde{f}^m \left( x - \frac{l_2}{\eta} \right) \times f^{2k} (x \eta - l_0) dx, \quad (30)$$

$$\tilde{g}_{kn} = \nu H_0^{2n} \int_{-\infty}^{\infty} [qg(x\nu)]^k \tilde{g}^n(x) dx, \quad (31)$$

где

$$\nu = \tilde{\Omega}/\Omega, \eta = \tilde{\tau}/\tau. \quad (32)$$

Отметим, что максимум сигнальной функции  $\tilde{S}(l, l_0)$  в общем случае достигается в некоторой точке  $l_m \neq l_0$ , определяемой из уравнения

$$\int_{-\infty}^{\infty} \frac{d\tilde{f}(x)}{dx} f^2(x \eta + l_m - l_0) dx = 0.$$

Следовательно, оценка  $\tilde{l}$  в общем случае обладает смещением  $\tilde{d}(\tilde{l}) = l_m - l_0$ , а ее дисперсия определяется соотношением [5]

$$\tilde{D}(\tilde{l}) = \left\{ \frac{\partial^2 \tilde{B}(l_1, l_2)}{\partial l_1 \partial l_2} / \left[ \frac{d^2 \tilde{S}(l, l_0)}{dl^2} \right]_{l_m}^2 \right\}. \quad (33)$$

Подставляя в (33) выражения для  $\tilde{S}(l, l_0)$  (20) и  $\tilde{B}(l_1, l_2)$  (21) с учетом (30), (31), получаем, что дисперсия оценки  $\tilde{l}$  определяется (25) при замене  $\varphi_{kn}$  (26) и  $\Psi$  (27) на

$$\tilde{\varphi}_{kn}(l_m) = \eta \int_{-\infty}^{\infty} \left[ \frac{d\tilde{f}(x)}{dx} \right]^k f^{2(n-1)} (x \eta + l_m - l_0) dx, \quad (34)$$

$$\tilde{\Psi}(l_m) = \int_{-\infty}^{\infty} \frac{d^2 \tilde{f}(x)}{dx^2} f^2 (x \eta + l_m - l_0) dx \quad (35)$$

и  $g_{kn}$  (24) на  $\tilde{g}_{kn}$  (31) соответственно.

Заметим, что если функции  $f^2(x)$  и  $\tilde{f}(x)$  четные, то  $l_m = l_0$ . Тогда квазиоптимальная оценка будет несмещенной, а ее дисперсия определяется (25) при замене  $\varphi_{kn}$  (26),  $\Psi$  (27) на  $\tilde{\varphi}_{kn}(l_0)$  (34),  $\tilde{\Psi}(l_0)$  (35) и  $g_{kn}$  (24) на  $\tilde{g}_{kn}$  (31).

В частном случае, когда выполняется (15) и  $l_m = l_0$ , дисперсия квазиоптимальной оценки принимает вид

$$\tilde{D}(\tilde{l}) = \frac{\tilde{g}_{02} \tilde{\varphi}_{21}(l_0)}{\mu \tilde{g}_{11}^2 \tilde{\Psi}^2(l_0)} =$$

$$= \frac{\eta \int_{-\infty}^{\infty} (d\tilde{f}(x)/dx)^2 dx}{\mu q^2 \nu \left[ \int_{-\infty}^{\infty} g(x\nu) \tilde{g}(x) dx \int_{-\infty}^{\infty} d^2 \tilde{f}(x)/dx^2 f^2(x \eta) dx \right]^2}.$$

Определим, к какому проигрышу в точности оценки времени прихода приводит замена оптимальных фильтров  $H_1(\omega)$  и  $h_2(t)$  (рис.1) на квазиоптимальные  $\tilde{H}_1(\omega)$  и  $\tilde{h}_2(t)$ . Для этого найдем отноше-

ние дисперсий оценок  $\hat{l}$  (17) и  $\tilde{l}$  (28). Если выполняется (15) и  $l_m = l_0$ , то это отношение запишется как

$$\chi = \tilde{D}(\tilde{l}) / D_0(\hat{l}) = g_{11}^2 \Psi^2 \tilde{g}_{02} \tilde{\varphi}_{21}(l_0) / (\tilde{g}_{11}^2 \Psi^2(l_0) g_{02} \varphi_{21}) = \\ = \frac{4\eta \int_{-\infty}^{\infty} (d\tilde{f}(x)/dx)^2 dx \int_{-\infty}^{\infty} [f(x)df(x)/dx]^2 dx}{\nu \left[ \int_{-\infty}^{\infty} g(xv)\tilde{g}(x)dx \int_{-\infty}^{\infty} d^2\tilde{f}(x)/dx^2 f^2(x\eta) dx \right]^2}. \quad (36)$$

В качестве конкретного примера рассмотрим ситуацию, когда фильтры квазиоптимального измерителя отличаются от фильтров оптимального измерителя только параметрами (т.е.  $\tilde{\Omega} \neq \Omega$  и  $\tilde{\tau} \neq \tau$ ). Положим, что спектр мощности случайного процесса  $\xi(t)$  имеет прямоугольную форму, так что

$$\tilde{g}(x) = g(x) = \begin{cases} 1, & |x| \leq 1/2, \\ 0, & |x| > 1/2, \end{cases} \quad (37)$$

а модулирующая функция — колокольную форму, т.е.

$$\tilde{f}(x) = f^2(x) = \exp(-\pi x^2). \quad (38)$$

Подставляя (37), (38) в (36), получаем выражение для проигрыша в точности оценки

$$\chi = (1+\eta^2)^3 / [8\nu \eta^3 \min^2(1, 1/\nu)]. \quad (39)$$

На рис.2 приведены зависимости проигрыша в точности квазиоптимальной оценки  $\chi$  (39) от параметра  $\nu$  для различных значений  $\eta$  (32). Кривой 1 соответствует  $\eta=1$ ; 2 —  $\eta=1,25$ ; 3 —  $\eta=1,5$ ; 4 —  $\eta=1,75$ ; 5 —  $\eta=2$ .

Из анализа кривых следует, что при достаточно точном согласовании параметров фильтров квазиоптимального измерителя ( $\frac{1}{2} < \nu < 2$ ,  $\frac{1}{2} < \eta < 2$ , так что параметры фильтров и случайного импульса отличаются не более чем в 2 раза) проигрыш в точности оценки квазиоптимального измерителя по сравнению с оптимальным  $\chi$  (39) не превосходит 4. При-

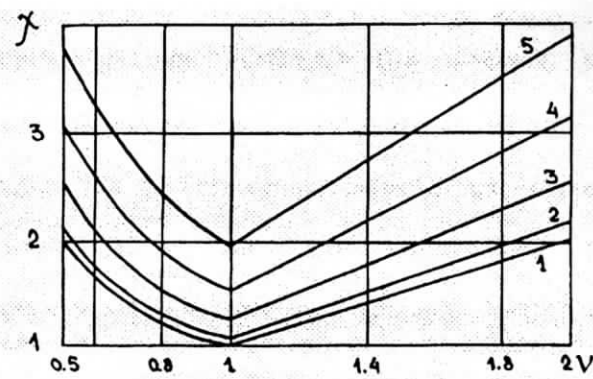


Рис. 2

чем оба фильтра (см. рис.1) обладают примерно одинаковой чувствительностью к отклонению их параметров от параметров случайного импульса. Действительно, проигрыш  $\chi=2$  при  $\eta=1$ ,  $\nu=2$  и  $\chi=1,95$  при  $\nu=1$ ,  $\eta=2$ . Однако следует отметить, что если квазиоптимальные фильтры отличаются не только параметрами, но и формой передаточных функций, то проигрыш в точности оценки может быть значительно.

Сравнительный анализ максимально правдоподобного и квазиоптимального измерителей позволяет сделать обоснованный выбор между ними в зависимости от имеющейся априорной информации, а также в зависимости от требований, предъявляемых к точности оценки и к степени простоты технической реализации измерителя.

Приведенные результаты получены при финансовой поддержке Российского фонда фундаментальных исследований.

#### Литература

1. Ван Трис Г. Теория обнаружения, оценок и модуляции. Т.3. — М.: Сов.радио, 1977.
2. Кремер И.Я., Владимиров В.И., Карпухин В.И. Модулирующие помехи и прием радиосигналов. — М.: Сов.радио, 1972.
3. Зюко А.Г., Коробов Ю.Ф. Теория передачи сигналов. — М.: Связь, 1972.
4. Евтилов А.П., Митько В.Б. Инженерные расчеты в гидроакустике. — Л.: Судостроение, 1988.
5. Куликов Е.И., Трифонов А.П. Оценка параметров сигналов на фоне помех. — М.: Сов.радио, 1978.

Поступила 26 апреля 1995 г.